

دانشکده فنی

گروه مکانیک

گرایش طراحی کاربردی

تحلیل غیرخطی رفتار پلاستیک حلقه‌های فلزی تحت بارگذاری با نرخ بالا و نرخ متوسط

از:

سید وحید حسینی

استادان راهنمای:

دکتر ابوالفضل درویزه

دکتر منصور درویزه

استاد مشاور:

دکتر رضا انصاری

شهریور ۱۳۸۹

تندیم به پدر و مادر بزم که آرامش جانم است و دعا پرخواست همواره بر قدر رحم بوده است.

تشکر و قدردانی

سپاس خداوند یکتا را که همواره الطاف بیکرانش در تمام مراحل زندگی شامل حالم بوده است.

بر خود لازم می دانم که از راهنمایی های ارزنده ای استاد ارجمند جناب پروفسور ابوالفضل درویزه و پروفسور منصور درویزه که اصلی ترین نقش را در تعریف، شکل گیری و انجام این پایان نامه عهد دار بودند و استفاده از محضر ایشان همواره مایه مباحثات مان بوده است خالصانه تشکر و قدردانی نمایم.

همچنین از اساتید محترم، دکتر غلامرضا زارع پور و دکتر رضا فلاحتگر که زحمت مطالعه و داوری این پایان نامه را بر عهده داشتند و نیز جناب دکتر علی باستی مدیر محترم گروه مکانیک صمیمانه سپاسگزارم.

تحلیل غیرخطی رفتار پلاستیک حلقه های فلزی تحت بارگذاری با نرخ بالا و نرخ متوسط

وحید حسینی

در این پایان نامه، شبیه سازی فرآیندهای شکل دهنده دینامیکی حلقه های فلزی توسط مدل های یک بعدی بدون در نظر گرفتن تغییر شکل ها و اثرات طولی با نوشتن معادله حرکت شعاعی حلقه و همچنین مدل دو بعدی متقارن محوری با استفاده از اصل پایداری نرخ تغییرات انرژی و اعمال روش حساب تغییرات صورت گرفته است. بر پایه ای تئوری تغییر شکل هنکی و استفاده از مدل ساختاری توانی و رابطه ای کوپرسایموند اثرات سخت شوندگی کرنشی در نرخ کرنش اعمال شده است.

معادله دینامیکی حاصل از مدل انرژی توسط الگوریتم نیومارک و روش نیوتون رفسون در هر مرحله حل شده و با به هنگام سازی مختصات حلقه در هر مرحله امکان تحلیل تغییر شکل های محدود نیز توسط مدل انرژی فراهم آمده است.

مدل های دینامیکی بدست آمده برای شبیه سازی فرآیند شکل دهنده انفجاری و الکترو مغناطیسی بکار گرفته شده و نتایج حاصله با نتایج پژوهش های پیشین مقایسه گردیده است.

واژه های کلیدی:

انبساط حلقه ها، شکل دهنده انفجاری، شکل دهنده الکترو مغناطیسی، معادله ثبات انرژی، تغییر شکل های محدود، رفتار غیر خطی.

فهرست مطالب

۱	فصل اول : پیشگفتار
۲	۱-۱ مقدمه
۲	۲-۱ روش های شکل دهی سرعت بالا
۳	۳-۱ نگاهی بر پژوهش های پیشین
۶	۴-۱ روند انجام پژوهش
۸	فصل دوم : روش شکل دهی انفجاری
۹	۱-۲ مقدمه
۹	۲-۲ شکل دهی الکترومغناطیس
۱۰	۳-۲ شکل دهی الکتروهیدرولیک
۱۲	۴-۲ شکل دهی انفجاری
۱۲	۳-۴-۲ تاریخچه و کاربردها
۱۶	۴-۴-۲ اصول اولیه
۱۷	۵-۴-۲ انفجار و مواد منفجره
۱۹	۶-۴-۲ حساسیت ماده منفجره
۱۹	۷-۴-۲ مشخصات مواد منفجره ضعیف
۲۰	۸-۴-۲ مشخصات مواد منفجره قوی
۲۰	۹-۴-۲ انتشار انفجار
۲۲	۱۰-۴-۲ موج فشار، ضربه و انتقال آن
۲۳	۱۱-۴-۲ محیط های انتقال انرژی انفجار
۲۴	۱۲-۴-۲ روش های استقرار مواد منفجره
۲۶	۱۳-۴-۲ سیستم های شکل دهی انفجاری
۲۹	فصل سوم : محاسبه فشار ایجاد شده در طی فرآیندهای شکل دهی انفجاری و الکترومغناطیس
۳۰	۱-۳ مقدمه
۳۰	۲-۳ شکل دهی الکترومغناطیس
۳۱	۳-۲-۳ جریان قطعه کار
۳۲	۴-۲-۳ پارامترهای مدار معادل
۳۳	۵-۲-۳ معادلات الکترودینامیک
۳۳	۶-۲-۳ فشار مغناطیسی
۳۵	۷-۲-۳ توزیع فشار الکترومغناطیس
۴۰	۳-۳ شکل دهی انفجاری
۴۲	۳-۳-۳ خرج نقطه ای

۴۳	خرج خطی با طول محدود	۴-۳-۳
۴۴	خرج خطی	۵-۳-۳
۴۵	جمع بندی	۴-۳
۴۷	فصل چهارم : تحلیل تغییرشکل حلقه ها در طی فرآیندهای شکل دهی دینامیکی با استفاده از معادلات حرکت	
۴۸	مقدمه	۱-۴
۴۹	بررسی تغییرشکل های کوچک حلقه	۲-۴
۵۰	تغییرشکل الاستیک حلقه	۳-۲-۴
۵۱	تغییرشکل پلاستیک حلقه	۴-۲-۴
۵۲	برگشت الاستیک حلقه	۵-۲-۴
۵۳	تحلیل تغییرشکل محدود حلقه	۳-۴
۵۴	رابطه ساختاری شامل نرخ کرنش	۳-۳-۴
۵۵	معادلات حرکت در مختصات لاگرانژی و استفاده از کرنش لگاریتمی	۴-۳-۴
۵۵	معادلهی حرکت در مختصات اویلری و استفاده از کرنش المنسی	۵-۳-۴
۵۷	فصل پنجم : بررسی تغییرشکل حلقه های فلزی در طی فرآیندهای شکل دهی دینامیکی به روش انرژی	
۵۸	مقدمه	۱-۵
۵۸	تنشها و کرنش های تعیین یافته	۲-۵
۶۰	معیار تسلیم	۳-۵
۶۱	حالت اول: صفحه $N_\theta = 0$	۳-۳-۵
۶۲	حالت دوم: صفحه $N_s = 0$	۴-۳-۵
۶۳	حالت سوم: صفحه $M_s = 0$	۵-۳-۵
۶۴	اصل تعامد و تنش های منتجه	۴-۵
۶۵	مدل ساختاری شامل اثرات سخت شوندگی کرنشی و نرخ کرنش	۵-۵
۶۵	اصل پایداری نرخ تغییرات انرژی	۶-۵
۶۷	نرخ کار نیروی خارجی	۷-۵
۶۷	نرخ تغییرات انرژی جنبشی	۸-۵
۶۹	نرخ کار پلاستیک	۹-۵
۷۰	تعیین تابع شکل ϕ	۱۰-۵
۷۱	استفاده از روش حساب تغییرات	۱۱-۵
۷۲	جمع بندی	۱۲-۵
۷۳	فصل ششم : نتایج و بحث	
۷۴	مقدمه	۱-۶
۷۴	رونده حل معادلات بدست آمده	۲-۶
۷۴	روش یک بعدی	۳-۲-۶

۷۴	روش انرژی	۴-۲-۶
۷۵	شکل دهی انفجاری حلقه	۳-۶
۷۵	ارزیابی صحت نتایج	۳-۶
۷۷	سرعت تغییرشکل و نرخ کرنش	۴-۳-۶
۷۹	توزیع محوری فشار انفجار	۵-۳-۶
۸۰	پروفیل تغییرشکل	۶-۳-۶
۸۲	توزیع کرنش ها	۷-۳-۶
۸۷	شکل دهی الکترومغناطیس حلقه های فلزی	۴-۶
۸۷	ارزیابی صحت نتایج	۳-۴-۶
۹۱	سرعت تغییرشکل و نرخ کرنش	۴-۴-۶
۹۲	تنش سیلان پلاستیک	۵-۴-۶
۹۳	پروفیل تغییر شکل	۶-۴-۶
۹۵	توزیع تنش های منتجه در طول حلقه و کار پلاستیک ناشی از آنها	۷-۴-۶
۹۸	نتیجه گیری	۵-۶
۹۹	پیشنهاد برای تحقیقات بیشتر	۶-۶

فهرست شکل‌ها

- شکل ۱-۱: تعداد مقالات منتشر شده در زمینه‌ی شکلدهی سرعت بالا در هر سال [۲]
شکل ۱-۲: پیکربندی شکل دهی الکترومغناطیس
شکل ۲-۱: پیکربندی شکل دهی الکتروهیدرودینامیک
شکل ۳-۲: نمونه‌ای محصولات فرآیند EHF
شکل ۴-۲: قطعه مثلى ساخته شده از آلومینیوم برای بدنه سفینه ساترن [۲]
شکل ۵-۲: اجزاء گنبدی شکل ساخته شده به روش شکل دهی انفجاری [۱ و ۲]
شکل ۶-۲: اجزاء توربین؛ شکل داده شده به روش انفجاری
شکل ۷-۲: پوسته‌ی دوکی شکل (قبل و بعد از شکل دهی انفجاری)
شکل ۸-۲: قسمتی از ساختمان مخزن خلا، ساخته شده به روش انفجاری [۲]
شکل ۹-۲: منیفولد ساخته شده به روش انفجاری [۲]
شکل ۱۰-۲: مقایسه نمودار فشار-زمان در مواد منفجره قوی و ضعیف
شکل ۱۱-۲: انتشار انفجار از یک نقطه
شکل ۱۲-۲: انفجار در یک خرج خطی
شکل ۱۳-۲: انتشار انفجار در خرج
شکل ۱۴-۲: سامانه‌ی انفجار با فاصله
شکل ۱۵-۲: سامانه‌ی شکل دهی شبه تماسی
شکل ۱۶-۲: تاثیر فاصله بر فشار وارد بر قطعه کار
شکل ۱۷-۲: سیستم شکل دهی بسته [۱]
شکل ۱۸-۲: سیستم شکل دهی باز ورق [۱]
شکل ۱-۳: نمای شماتیکی از سامانه شکل دهی الکترومغناطیسی استوانه
شکل ۲-۳: دیاگرام شماتیک مدار شکل دهی الکترومغناطیس
شکل ۳-۳: تاثیر نسبت طول استوانه به سیم پیچ؛ الف: الگوی توزیع نیرو ب: الگوی تغییر شکل ج: نمونه‌های تجربی [۲۷]
شکل ۴-۳: توزیع فشار الکترومغناطیس شعاعی به ازای نسبت های طولی مختلف [۳۳]
شکل ۵-۳: پروفیل فشار الکترومغناطیس شعاعی به ازای نسبت های طولی مختلف [۳۸]
شکل ۶-۳: توزیع فشار بدست آمده از رابطه ۲۸-۳
شکل ۷-۳: میرا شدن موج انفجار با افزایش فاصله نسبت به مرکز [۴۰]
شکل ۸-۳: موج فشار حاصل از انفجار [۴۰]
شکل ۹-۳: شوک انفجار حاصل از خروج کروی در داخل حلقه
شکل ۱۰-۳: خرج خطی با طول محدود
شکل ۱۱-۳: خرج خطی با طول نامحدود
شکل ۱-۴: نمای کلی تغییر شکل حلقه: الف) پروفیل تغییر شکل؛ ب) المان حلقه در پیکربندی اولیه؛ پ) المان حلقه تغییر شکل یافته
شکل ۵-۱: المان حلقه در مختصات استوانه‌ای

- شکل ۲-۵: معیار تسلیم سه بعدی معادله ۲-۵
- شکل ۳-۵: مقایسه معیار تسلیم رابطه ۵-۵ با سطح تسلیم ارائه شده در صفحه‌ی $N_\theta = 0$
- شکل ۴-۵: مقایسه معیار تسلیم رابطه ۷-۵ با سطح تسلیم ارائه شده در صفحه‌ی $N_s = 0$
- شکل ۵-۵: سطح تسلیم ارائه شده در صفحه‌ی $M_s = 0$
- شکل ۶-۵: هندسه تغییر شکل حلقه
- شکل ۱-۶: جابجایی نقطه‌ی میانی حلقه به ازای وزن خروج‌های مختلف به طول ۳۴ میلیمتر
- شکل ۲-۶: جابجایی نقطه‌ی میانی حلقه به ازای وزن خروج‌های مختلف به طول ۳۸ میلیمتر
- شکل ۳-۶: فشار وارد بر نقطه میانی دیواره‌ی حلقه به ازای رشتہ خروج‌های به طول ۳۴ میلیمتر
- شکل ۴-۶: سرعت حلقه در طی تغییر شکل انفجاری
- شکل ۵-۶: نرخ کرنش بدست آمده در طی تغییر شکل انفجاری حلق
- شکل ۶-۶: توزیع فشار بدست آمده برای حلقه با فرض انفجار یکباره‌ی خرج
- شکل ۷-۶: توزیع فشار بدست آمده برای حلقه با فرض انفجار تدریجی آن
- شکل ۸-۶: پروفیل تغییر شکل شعاعی حلقه به ازای انفجار یکباره‌ی خرج
- شکل ۹-۶: پروفیل تغییر شکل شعاعی حلقه به ازای انفجار تدریجی آن
- شکل ۱۰-۶: حلقه تغییر شکل یافته به روش انفجاری در مرجع [۵]
- شکل ۱۱-۶: توزیع کرنش محیطی در طول حلقه در زمانهای مختلف الف: انفجار یکباره خرج، ب: انفجار تدریجی خرج
- شکل ۱۲-۶: توزیع کرنش طولی حلقه در زمانهای مختلف الف: انفجار یکباره خرج، ب: انفجار تدریجی خرج
- شکل ۱۳-۶: توزیع کرنش موثر حلقه در زمانهای مختلف الف: انفجار یکباره خرج، ب: انفجار تدریجی خرج
- شکل ۱۴-۶: توزیع تنش‌های منتجه حلقه در زمانهای مختلف الف: انفجار یکباره خرج، ب: انفجار تدریجی خرج
- شکل ۱۵-۶: جریان ایجاد شده در سیم پیچ در طی فرآیند شکل دهی الکترومغناطیس
- شکل ۱۶-۶: فشار الکترومغناطیس وارد بر حلقه در طی فرآیند الکترومغناطیس
- شکل ۱۷-۶: مقایسه تغییر شکل شعاعی پیش‌بینی شده در نقطه میانی دیواره حلقه $x=0$ بر حسب زمان در طی فرآیند شکل دهی الکترومغناطیس
- شکل ۱۸-۶: سرعت شعاعی نقطه میانی حلقه در طی فرآیند شکل دهی الکترومغناطیس
- شکل ۱۹-۶: نرخ کرنش ایجاد شده در طی فرآیند شکل دهی الکترومغناطیس حلقه
- شکل ۲۰-۶: تنش سیلان بر حسب زمان
- شکل ۲۱-۶: پروفیل تغییر شکل
- شکل ۲۲-۶: توزیع طولی تنش‌های منتجه بی بعد شده در زمانهای مختلف
- شکل ۲۳-۶: سهم کار پلاستیک هر یک از تنش‌های منتجه در طی تغییر شکل

فهرست جداول‌ها

۱۸	جدول ۱-۲: تعدادی از مواد منفجره
۲۲	جدول ۲-۲: پارامترهای انفجار چند خرج متداول [۲۸]
۸۷	جدول ۱-۶: مشخصات مکانیکی مربوط به قطعه کار
۸۸	جدول ۲-۶: مشخصات هندسی مربوط به سیم پیچ و قطعه کار
۸۸	جدول ۳-۶: مقادیر مشخصه معادله جریان

۱. فصل اول

پیشگفتار

۱-۱ مقدمه

به طور کلی تحلیل رفتار سازه ها تحت بار دینامیکی و ضربه ای به دو منظور مختلف انجام می گیرد. در برخی از سازه ها نظری مخازن تحت فشار، این تحلیل به این علت انجام می شود که اطمینان حاصل گردد که سازه می تواند فشارهای ناگهانی در یک سیستم را تحمل نماید. برای بعضی دیگر از سازه ها این تحلیل کار اصلی سازه را تعریف می کند که از این گروه می توان به ضربه گیرهای مکانیکی خودروها اشاره کرد. در این میان تحلیل رفتار حلقه ها را می توان از دو جنبه دارای اهمیت دانست. اول اینکه تحلیل حلقه های جدار نازک یا جدار ضخیم به عنوان یکی از سازه های استوانه ای شکل می تواند برای طیف وسیعی از مسائل مورد استفاده قرار گیرد. دیگر آنکه شکل دهنده حلقه های فلزی در کنار کاربردهای فراوان صنعتی یکی از اصلیترین روش های بررسی خواص مکانیکی مواد به ویژه در سرعت های بالا هستند. لذا ارائه مدل هایی برای بررسی رفتار و تغییر شکل پلاستیک حلقه ها، مورد توجه می باشد.

فرآیندهای شکل دهنده را بسته به نرخ کرنش ایجاد شده در قطعه کار، می توان به فرآیندهای شبه استاتیکی ($s^{-1} < \dot{\epsilon}_p < 10^{-4}$)، نرخ پایین ($s^{-1} < \dot{\epsilon}_p < 10^{-4}$)، نرخ متوسط ($5 \times 10^2 s^{-1} < \dot{\epsilon}_p < 10^{-4}$) و نرخ بالا تقسیم بندی کرد. در فرآیندهای نرخ پایین، صرف نظر از اثرات اینرسی و تحلیل استاتیکی فرض معقولی است. اما در فرآیندهای نرخ متوسط اثرات اینرسی قطعه کار بدلیل سرعت بالای تغییر شکل اهمیت یافته و تحلیل دینامیکی فرآیند را الزامی می کند. در فرآیندهای نرخ بالا، علاوه بر اینرسی، نرخ کرنش بالای ایجاد شده نیز در رفتار قطعه کار در حین تغییر شکل موثر خواهد بود. لذا به منظور شبیه سازی این فرآیندها، استفاده از مدل های دینامیکی که علاوه بر اینرسی اثرات نرخ کرنش را نیز لحاظ کند بسیار مورد توجه بوده و برای مجموعه ای از فرآیندهای شکل دهنده دینامیکی نرخ متوسط و نرخ بالا قابل استفاده خواهد بود.

۲-۱ روش های شکل دهنده سرعت بالا

فرآیند شکل دهنده با سرعت بالا، فرآیندی است که در آن مقداری انرژی در زمان کوتاهی آزاد می شود و قطعه کار در برابر فشار گذراي زیاد قرار می گيرد. در اين روش، ماده به سرعت و شتاب بالايی می رسد و فرآيند در کسر بسیار کوچکی از ثانیه پایان می - پذيرد. سرعت شکل گيری قطعه در اين شيوه بيش از 50 m/s می باشد. ابزارهای مورد نياز در اين دانش بر پایه روش آزاد سازی

انرژی دسته بندی می شوند این روشها عبارتند از:

۱- الکتریکی مانند دستگاه الکترومغناطیس،

۲- مکانیکی مانند دستگاه پنیوماتیکی،

۳- شیمیایی مانند انفجار ماده منفجره.

دلایل متعددی برای ایجاد و استفاده از این روش‌ها وجود دارد که علت اصلی آن، عمدتاً مزایای این روش‌ها نسبت به روش‌های

ستی شکل دهی می‌باشد. برخی از این دلایل به قرار زیر هستند:

۱- افزایش قابلیت شکل‌پذیری آلیاژهای ویژه نظری تیتانیوم که با استفاده از روش‌های ستی مشکل است؛

۲- حذف نیمی از مجموعه قالب (سننه یا ماتریس) و کاهش هزینه‌های مرتبط با طراحی و ساخت قالب؛

۳- کاهش مقدار بازگشت فری و در نتیجه امکان ساخت قطعات دقیق‌تر؛

۴- بهبود نسبی خواص مکانیکی، ریز ساختاری و متالوژی قطعه کار پس از فرآیند شکل دهی؛

۵- تولید قطعات آزمایشی با پروفیل پیچیده و ترانس‌های نازل و دقیق؛

۶- توزیع یکنواخت تر کرنش‌ها در یک عملیات واحد و حذف عملیات ماشین کاری سنگین و گران قیمت در روش‌های

ستی؛

از ویژگی‌های اصلی این روش‌ها که می‌بایست در تحلیل فرآیند به آنها توجه شود می‌توان به عواملی نظری اینرسی، ضربه و تغییرات

خواص ساختاری مکانیکی مواد اشاره کرد. روش‌های متعدد شکل دهی سریع عمدتاً براساس نحوه انتقال انرژی به قطعه کار دسته

بندی می‌شوند که در این پایان نامه شکل دهی انفجاری و الکترومغناطیس مورد بررسی قرار خواهد گرفت.

۱-۳ نگاهی بر پژوهش‌های پیشین

ابداع روش‌های شکل دهی سرعت بالا را می‌توان به اواخر قرن هجدهم و نخستین کاربردهای آن را در ۱۹۳۰ برای شکل دهی

ورق‌های خصیم مربوط دانست [۱]. در بین سال‌های ۱۹۵۰ تا ۱۹۷۰ حمایت‌های گسترده‌ای برای انجام تحقیقات در این زمینه آغاز

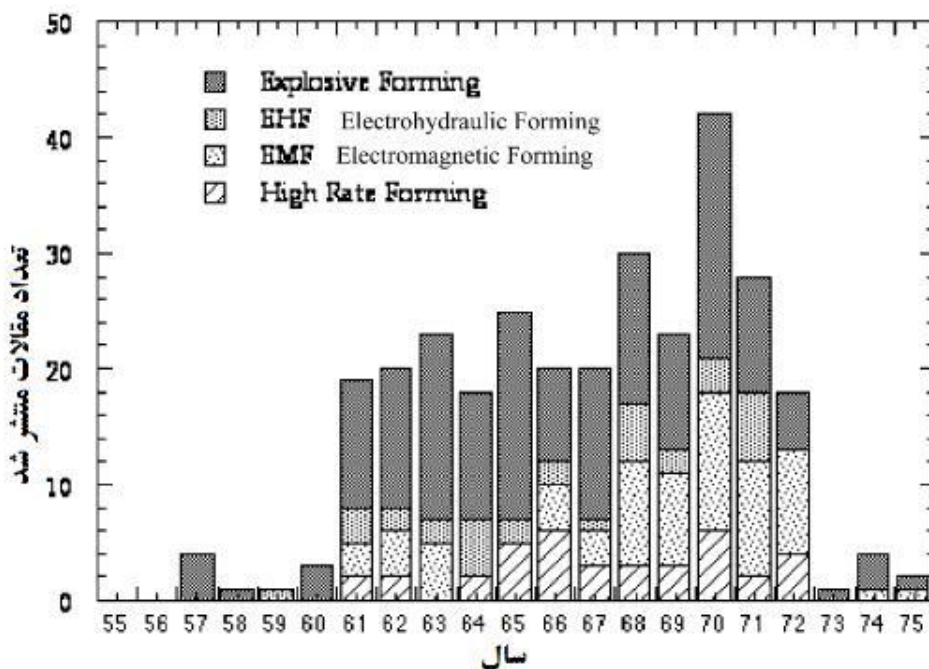
و منجر به انتشار مقالات فراوانی در این حوزه گردید. همانطور که در شکل ۱-۱ دیده می‌شود، اگرچه تعداد این مقالات از سال

۱۹۶۱ تا ۱۹۷۰ به طور چشمگیری رو به افزایش بود، در این سال به یکباره کاهش یافت [۲]. در توجیه علت کاهش مقالات و

گزارشات به خصوص در زمینه شکل دهی انفجاری دلایل مختلفی ارائه شده است. ابداع تکنیک پوشش دهی انفجاری و سرمایه-

گذاری و گرایش اکثر کمپانی‌ها به آن از یک سو و همچنین آغاز به کار کمپانی‌های تجاری بزرگ برای شکل دهی انفجاری و

تجاری شدن این روش‌ها از سوی دیگر، از جمله دلایلی است که مرجع [۲] برای این کاهش ذکر کرده است. با این حال، در ادامه بعضی از پژوهش‌های منتشر شده در زمینهٔ شکل دهندهٔ حلقه‌ها و تیوب‌های استوانه‌ای به اجمال مورد بررسی قرار می‌گیرد.



شکل ۱-۱: تعداد مقالات منتشر شده در زمینهٔ شکل دهندهٔ سرعت بالا در هر سال [۲]

در سال ۱۹۹۶، دالریمپل (Dalrimple) و جانسون (Johnson) [۳] آزمایش‌های متعددی برای شکل دهندهٔ انفجاری تیوب‌های برنجی و فولادی با قطرهای مختلف توسط خرچه‌ای خطی انجام داده و انساط‌هایی تا ۲۵٪ قطر اولیه را بدست آورند. آنها با توجه به هندسهٔ خرچ و استفاده از روابط تجربی، عبارتی را نیز برای محاسبهٔ فشار وارد بر قطعه کار و فلاکس انرژی انفجاری استخراج کردند.

پوینتون (Poynton) و همکارانش [۴] با انجام آزمایش‌های تجربی و انساط شعاعی تیوب‌های برنجی توسط انفجار مخلوط گاز در ۱۹۶۷ گزارش داده‌اند که برای انساط تیوب‌های فلزی، روش شکل دهندهٔ انفجاری با خرچ خطی، روش مناسب‌تری است.

یکی از قدیمی‌ترین پژوهش‌های منتشر شده در زمینهٔ شکل دهندهٔ حلقه‌ها را می‌توان مقاله‌ی ارائه شده توسط چینگ (Ching) و ویس (Weese) در سال ۱۹۶۹ دانست [۵] که علاوه بر نتایج تجربی انساط حلقه‌های جدار نازک به کمک خرچه نیز استفاده از روش انرژی است. معادلات فشار خطی، شامل مدل‌های تحلیلی یک بعدی با استفاده از معادله حرکت شعاعی حلقه و نیز استفاده از روش انرژی است. معادلات فشار نیز به کمک مفهوم فاصله مقیاس شده^۱ و روابط تجربی ارائه شده توسط Cole [۶] برای خرچ کروی استخراج شده‌اند. اگرچه مفروضات ساده کننده‌ی بسیاری در این تحلیل صورت گرفته اما چینگ و ویس مطالعات گسترده‌ای را به کمک آن انجام داده و

^۱ Scaled distance

نتایج قابل قبولی را استخراج کرده اند.

در سال های ۱۹۶۷ تا ۱۹۷۴ در *Al-Hassani* و همکارانش [۷ و ۸] پژوهش هایی را بر روی شکل دهی سرعت بالای تیوب های استوانه ای توسط روش الکترومغناطیس، به انجام رساندند. در کنار انجام مطالعات تجربی، آنها با توسعه روش استفاده از مدار معادل و با در نظر گرفتن معادله حرکت شعاعی تیوب، مدل هایی یک بعدی برای تحلیل تغییر شکل استوانه ها ارائه کردند. آنها همچنین با استفاده از روش پین ها تمسی^۱ توانستند منحنی هایی تجربی برای تاریخچه زمانی تغییر شکل و سرعت استوانه نیز بدست آورند.

در همین سال ها (۱۹۷۲)، *Daffey* مدل یک بعدی ای را با در نظر گرفتن رفتار الاستیک پلاستیک کامل و وابسته به نرخ کرنش، برای تحلیل حلقه ها در بارگذاری های ایمپالسیو ارائه داد [۹]. او با انجام مثال های عددی با و بدون در نظر گرفتن اثرات نرخ کرنش، تفاوت های قابل توجهی را در نتایج بدست آمده گزارش می دهد. همانطور که گفته شد، یکی از کاربردهای مطالعه رفتار حلقه ها، بررسی رفتار و تعیین مشخصات ساختاری مکانیکی فلزات است.

در سال ۱۹۸۷، *Gourdin* و همکارانش [۱۰] با بررسی انبساط حلقه های فلزی توسط روش الکترومغناطیس، به بررسی رفتار ساختاری فلزات و مطالعه تنش جریان در نرخ های کرنش بالا پرداختند. آنها نیز از اثرات طولی صرف نظر کرده و از مدل یک بعدی برای تحلیل مکانیکی تغییر شکل حلقه استفاده کردند.

عکس برداری سرعت بالا که یکی از روش های بررسی روند تغییر شکل در فرآیندهای دینامیکی است، در سال ۱۹۹۲ توسط *Bola* و همکارانش [۱۱] در انجام آزمایشاتی در بارگذاری انفجاری استوانه های آلومینیومی و مسی بکار گرفته شده و نمودارهایی برای بیان تاریخچه زمانی تغییر شکل توسط آنها ارائه گردید.

فورستال (*Forrestal*) و همکارانش [۱۲] نیز در سال ۱۹۹۴ مدلی یک بعدی برای تحلیل پاسخ حلقه های آلومینیومی تحت بار ایمپالسیو را ارائه کردند و با استفاده از مدل ساختاری الاستیک خطی و سخت شوندگی سینماتیکی برای ماده، فرآیند بارگذاری الاستوپلاستیک، باربرداری و بارگذاری معکوس را برای حلقه ها شیوه سازی کردند.

در سال ۱۹۹۳، مشکسар و برجمی [۱۳] با مطالعه تجربی شکل دهی تیوب های جدار نازک با طول های مختلف توسط خرج های خطی و مدل سازی ریاضی فشار انفجار مشابه روش ارائه شده توسط مرجع [۳] گزارش می دهند که استفاده از خرج های خطی مناسب ترین انتخاب برای قطعات توخالی است.

نمود دیگری از تحلیل حلقه ها در طی بارگذاری های ضربه ای و سرعت بالا، بررسی پدیده گلویی شدن است. سورنسن

^۱ Pin contact method

(Zhou) و همکارانش [۱۴] در سال ۲۰۰۰، مرسیر (Molinari) و مولیناری (Mercier) در ۲۰۰۴ [۱۵]، همچنین ژو (Sorensen) و همکارانش در ۲۰۰۶ [۱۶] با شیوه سازی عددی و ارائه مدل‌های یک بعدی با در نظر گرفتن اثرات نرخ کرنش، به بررسی پدیده گلوبی شدن و شکست در حلقه‌ها در نرخ کرنش‌های بالا پرداخته‌اند.

اخیراً داهن (Daehn) و همکارانش [۱۷] متدهای جدید اندازه‌گیری پرسرعتی به نام *Photon Doppler Velocimetry* را برای مطالعه‌ی تجربی رفتار دینامیکی سازه‌ها معرفی و از آن در بدست آوردن تاریخچه زمانی رفتار حلقه‌ها تحت بار الکترومغناطیس استفاده کرده‌اند. آنها همچنین با ارائه مدلی یک بعدی، این روش را روندی مناسب برای مطالعه‌ی خواص مکانیکی فلزات در نرخ کرنش بالا عنوان می‌کنند.

در یکی از پژوهش‌های اخیر در زمینه‌ی فرآیند شکل‌دهی الکترومغناطیس که در سال ۲۰۰۹ منتشر شده [۱۸]، توماس (Thomas) و تریانتافیلیدیس (*Triantafyllidis*) با استفاده از اصل حساب تغییرات و حل همزمان معادلات ماسکسول و معادلات مکانیکی تغییرشکل، الگوریتمی برای تحلیل فرآیند شکل‌دهی الکترومغناطیس ارائه داده و تغییرشکل استوانه‌هایی با طول‌های مختلف را مورد بررسی قرار داده‌اند. یکی از نمونه‌های مطرح شده در این تحلیل، استوانه‌ای کوتاه است که نسبت طول به شعاع کمی داشته و به همین دلیل به عنوان یکی از مراجع ارزیابی پایان نامه حاضر، استفاده شده است.

در دانشگاه گیلان، سال‌های است که پژوهش‌هایی در مورد فرآیندهای شکل‌دهی سرعت بالا به روش الکترومغناطیس و انفجاری توسط دکتر ابوالفضل درویزه و دکتر منصور درویزه انجام شده و علاوه بر پایان نامه‌ها، منجر به انتشار مقالات متعددی نیز در این زمینه شده است [۱۹ و ۲۰ و ۲۱]. در این میان، در سال ۱۹۹۸ (۱۳۷۷) مجموعه‌ای از آزمایشات تجربی بر روی شکل‌دهی انفجاری حلقه‌های فلزی توسط مهران زرکش [۲۲] صورت گرفته که از نتایج حاصل از آن نیز برای ارزیابی مدل‌های ارائه شده در پایان نامه حاضر استفاده گردیده است.

۴-۱ روند انجام پژوهش

هدف از این پژوهش ارائه مدل‌هایی برای بررسی فرآیندهای شکل‌دهی دینامیکی با در نظر گرفتن اثرات اینرسی و اثرات نرخ کرنش به منظور تحلیل رفتار غیر خطی پلاستیک حلقه‌های فلزی تحت بارگذاری‌های نرخ بالا و متوسط با تأکید بر روش شکل‌دهی انفجاری و الکترومغناطیس می‌باشد.

در فصل اول این پایان نامه مقدمه و مروری بر پژوهش‌های انجام شده در فرآیند شکل‌دهی دینامیکی حلقه‌ها ارائه می‌شود. در فصل دوم روش‌های شکل‌دهی سرعت بالا به ویژه روش انفجاری معرفی می‌شود.

در فصل سوم با در نظر گرفتن هندسه‌ی قطعه‌کار، عباراتی برای تعیین فشار انفجاری و الکترومغناطیس در فرآیند شکل‌دهی حلقه‌ها بدست می‌آید.

در فصل چهارم با استفاده از معادله‌ی حرکت شعاعی پوسته، مدل‌های یک بعدی ای برای بررسی تغییرشکل‌های محدود حلقه ارائه می‌شود.

در فصل فصل پنجم نیز مدلی دو بعدی متقارن محوری برای تحلیل فرآیند شکل‌دهی دینامیکی حلقه‌ها به کمک حل معادله پایداری نرخ تغییرات انرژی ارائه می‌شود.

در نهایت در فصل ششم نتایج حاصل از مدل‌های ارائه شده برای شکل‌دهی انفجاری و الکترومغناطیس ارزیابی و بررسی می‌شوند.

۲. فصل دوم

روش شکل دهی انفجاری

۱- مقدمه

فرآیندهای شکل دهی سرعت بالا به تکنیک هایی اطلاق می شود که در آنها ابتدا نیروی محرک صرف شتاب دادن قطعه کار به سرعتی بالا در زمانی کوتاه شده و سپس این سرعت بالا و انرژی جنبشی بدست آمده باعث تغییر شکل قطعه کار می گردد. این تکنیک ها عمدتاً بر اساس نحوه انتقال انرژی به قطعه کار دسته بندی می شوند. مهمترین این روشها عبارتند از:

- ۱- شکل دهی الکترو مغناطیس
- ۲- شکل دهی الکترو هیدرولیک
- ۳- شکل دهی انفجاری
- ۴- شکل دهی با چکش آبی
- ۵- شکل دهی با انفجار گاز
- ۶- شکل دهی پنوماتیکی

فرآیندهای شکل دهی الکترو مغناطیس، الکترو هیدرولیک و روش انفجاری، که به ترتیب از تخلیه ای دفعی خازن ها درون سیم پیچ شکل دهی، تخلیه انرژی ذخیره شده در خازن به درون آب و فشار حاصل از انفجار مواد منفجره برای شکل دهی استفاده می کنند، امروزه کاربردهای تحقیقاتی و تجاری بیشتری داشته و در بعضی موارد با یکدیگر در رقابت هستند. در این میان شکل دهی انفجاری بارزترین فرآیند شکل دهی سرعت بالا بوده [۲] و لذا در این فصل به ارائه تاریخچه، کاربردها و معرفی آن خواهیم پرداخت اما پیش از آن، خلاصه ای بر روش های الکترو مغناطیس و الکترو هیدرولیک ارائه می شود.

۲- شکل دهی الکترو مغناطیس

برای انجام فرآیند *EMF* (شکل دهی الکترو مغناطیس)، انرژی ذخیره شده در مجموعه ای از خازن ها درون سیم پیچی که در مجاورت قطعه کار قرار دارد تخلیه می شود (شکل ۱-۲). جریان عبوری از سیم پیچ، میدان مغناطیسی ای را ایجاد می کند که شدت آن وابسته به جریان عبوری است. میدان مغناطیسی ایجاد شده در اطراف سیم پیچ به نوبه ای خود جریان الکتریکی را در جهت خلاف جریان سیم پیچ در قطعه کار ایجاد می کند. جریان ایجاد شده نیز میدان مغناطیسی ای دیگری را در اطراف قطعه کار به وجود می آورد. دافعه ای بین میدان های مغناطیسی بوجود آمده نیروی لازم برای تغییر شکل قطعه کار را فراهم می آورد.